

МИНОБРНАУКИ РОССИИ

Федеральное государственное бюджетное образовательное учреждение  
высшего образования

**«САРАТОВСКИЙ НАЦИОНАЛЬНЫЙ  
ИССЛЕДОВАТЕЛЬСКИЙ ГОСУДАРСТВЕННЫЙ  
УНИВЕРСИТЕТ ИМЕНИ Н.Г. ЧЕРНЫШЕВСКОГО»**

Кафедра математического анализа

**Кривизна Левнера**

**АВТОРЕФЕРАТ МАГИСТЕРСКОЙ РАБОТЫ**

студента 2 курса 227 группы  
направления 02.04.01 - **Математика и компьютерные науки**

**механико-математического факультета**

Перевозникова Михаила Михайловича

Научный руководитель

доцент, к.ф.-м.н., доцент

должность, уч. степень, уч. звание

E.В.Разумовская

инициалы, фамилия

подпись, дата

Заведующий кафедрой

и.о.зав.кафедрой, к.ф.-м.н., доцент

должность, уч. степень, уч. звание

E.В.Разумовская

инициалы, фамилия

подпись, дата

Саратов 2022

# СОДЕРЖАНИЕ

Стр.

<b>ВВЕДЕНИЕ .....</b>	<b>3</b>
<b>1 Кривизна Левнера .....</b>	<b>5</b>
1.1 Хордовое уравнение Левнера .....	5
1.2 Кривизна Левнера.....	9
1.3 Семейство самоподобных кривых .....	10
1.4 Вычисление кривизны Левнера.....	16
<b>ЗАКЛЮЧЕНИЕ .....</b>	<b>18</b>
<b>СПИСОК ИСПОЛЬЗОВАННЫХ ИСТОЧНИКОВ .....</b>	<b>19</b>

## ВВЕДЕНИЕ

Выпускная квалификационная работа посвящена рассмотрению величины, называемой кривизной Левнера.

Известно, что кривые постоянной геодезической кривизны порождают интересное явление. А именно, если геодезическая кривизна (которая может быть просто определена в точке 0 в гиперболическом единичном круге как половина евклидовой кривизны, а затем в произвольных точках посредством изометрии) не превосходит 1, то кривая автоматически становится простой кривой, которая стремится к границе  $D$ , тогда как кривые постоянной кривизны больше 1 представляют собой окружности в  $D$ , поэтому не стремятся к границе.

Аналогичный «фазовый переход» происходит в теории Лёвнера: в рамках хордового уравнения Лёвнера в верхней полуплоскости, если кривая  $\gamma$  имеет управляющую функцию  $\lambda$ , которая принадлежит  $Lip \frac{1}{2}$  с нормой  $\|\lambda\|_{\frac{1}{2}} < 4$ , тогда  $\gamma$  - простая кривая, и если  $\|\lambda\|_{1/2} \geq 4$ , то кривая может иметь самопересечения, см. [6] и [15].

Целью выпускной квалификационной работы является изучение кривизны Левнера и ее свойств и приложений.

Задачами выпускной квалификационной работы являются:

- 1) Учитывая, что процесс Левнера порождается кривой, определить условия, которые необходимо наложить на управляющую функцию  $\lambda$ , чтобы точно сказать, что эта кривая простая.
- 2) Определить свойства управляющей функции для данного процесса, чтобы происходила генерация кривой.
- 3) Определить величину, называемую кривизной Левнера, и установить некоторые из ее свойств, особенно в отношении "фазового перехода".
- 4) Привести программную реализацию на языке Python набора конкретных кривизн с заданными параметрами и свойствами.

В первой части работы рассматривается хордовое уравнение Левнера. В ней изложены новые условия для управляющей функции хордового уравнения Левнера, из которых следует, что алгоритм генерируется простой кривой.

Первая часть работы основана на статье [19]. Основным результатом исследования является тот факт, что если  $\lambda \in Lip(\frac{1}{2})$  с нормой  $C < 4$  на  $[0, T]$ , то

1) если

$$\lim_{t \rightarrow T^-} \frac{\lambda(T) - \lambda(t)}{\sqrt{T-t}} = k < 4,$$

то процесс порождается простой кривой  $\gamma : [0, T] \rightarrow \overline{H}$ , где  $\gamma(T) \in H$ .

2) если

$$\lim_{t \rightarrow T^-} \frac{\lambda(T) - \lambda(t)}{\sqrt{T-t}} = k > 4,$$

то процесс порождается кривой  $\gamma : [0, T] \rightarrow \overline{H}$ , где  $\gamma(T) \in R$  или  $\gamma(T) \in \gamma([0, T])$ .

Этот результат позволил улучшить исследования, проведенные Линд, Маршалом и Родэ, продемонстрировавшие процессы Левнера, которые не порождаются кривой, и исследовали достаточные условия на функцию, которая подразумевает, что алгоритм формируется благодаря кривой. Кроме того, в главе приведено уравнение Лёвнера с управляющей функцией  $cW_b$  где  $c$  - положительная постоянная, а  $W_b$  - функция Вейерштрасса, определяющаяся по формуле

$$W_b(t) = \sum_{n=1}^{\infty} \frac{\cos(b^n t)}{\sqrt{b^n}}.$$

А так же доказаны основные свойства и утверждения.

Во второй части работы дано определение кривизны Левнера и ее связь с семейством самоподобных кривых. Были вычислены кривизны Левнера для конкретных случаев и приведены ее характеристики, в зависимости от начальных значений. Основным материалом являлась статья [21].

В главе так же был рассмотрен вопрос существования кривой с заданной кривизной, и благодаря приведенным теоремам, результат был расширен приведенным принципом сравнения.

Во второй главе так же приведены результаты компьютерного моделирования конкретного вычисления кривизны Левнера с определенным набором параметров.

В заключении приведены основные результаты и выводы по работе.

Результат данной выпускной квалификационной работы был изложен на семинаре кафедры математического анализа.

# 1 Кривизна Левнера

## 1.1 Хордовое уравнение Левнера

Пусть  $H$  - верхняя полуплоскость  $H : z = x + iy \in C; y > 0$ .

Предположим сначала, что отображение  $\gamma : [0, T] \rightarrow H$  непрерывно и инъективно, причем  $\gamma(t) \in H$  при  $t \in (0, T]$ ,  $\gamma(0) = 0$ . Обозначим  $K_t = \gamma[0, t]$  и  $H_t = H \setminus K_t$ . Растущее замкнутое множество  $K_t$  называется оболочкой Лёвнера или "халлом". По теореме Римана, существует единственное конформное отображение  $g_t : H_t \rightarrow H$ , удовлетворяющее следующему условию разложения в окрестности бесконечно удаленной точки:

$$g_t(z) = z + \frac{c(t)}{z} + O\left(\frac{1}{z^2}\right), \quad (1.1)$$

где  $c(t) \in R_+$ , и  $g_t$  может быть голоморфно расширено по принципу симметрии Шварца на  $C \setminus K_t \cup s(K_t)$ , где  $s(z) = \bar{z}$ .

Поскольку функция  $t \mapsto c(t)$ , называемая емкостью верхней полуплоскости, (или полуплоскостной емкостью) непрерывна и возрастает от 0 до  $\infty$ , мы можем изменить параметризацию  $\gamma(t)$  так, чтобы  $c(t) = 2t$ . Можно доказать, что предел  $\lambda(t) = \lim_{z \in H_t, z \rightarrow \gamma(t)} g_t(z)$  существует и является вещественным в  $R$ . Более того, отображение  $t \mapsto \lambda(t)$  непрерывно, а отображение  $t \mapsto g_t(z)$  удовлетворяет следующему, так называемому хордовому уравнению Лёвнера:

$$\dot{g}_t(z) = \frac{2}{g_t(z) - \lambda(t)}, \quad g_0(z) = z, \quad z \in H. \quad (1.2)$$

Доказательство этих фактов можно найти в [10].

Функция  $\lambda$  называется управляющей функцией. Заметим, что  $\lambda(0) = 0$ , поскольку  $g_0(z) = z$  - тождественное отображение.

Рассмотрим обратную задачу. Для непрерывной функции  $\lambda : R_+ \rightarrow R$  по теореме Коши-Липшица для обыкновенных дифференциальных уравнений для произвольного начального значения  $z_0 \in \overline{H}$  существует единственное решение (1.2), определенное на  $[0, T_{z_0})$  и  $\lim_{t \rightarrow T_{z_0}^-} g_t(z_0) = \lambda(T_{z_0})$  в случае  $T_{z_0} < +\infty$ . Будем говорить, что  $T_z$  - время захвата  $z$ . Определим его при  $t \geq 0$ ,

$$K_t = \{z | T_z \leq t\},$$

так, что данное равенство будет выполняться, когда  $g_t$  для всех  $t$  будет являться отображением Римана  $H_t = H \setminus K_t \rightarrow H$ , удовлетворяя «гидродинамической» нормировке (1.1).

Пусть  $K_t = \gamma([0, t])$ , и пусть процесс порожден простой кривой  $\gamma$ . В более общем плане, мы скажем, что процесс Левнера, управляемый функцией  $\lambda$ , порождается кривой  $\gamma$ , если существует непрерывная функция  $\gamma : R_+ \rightarrow \overline{H}$  с  $\gamma(0) = 0$ , не обязательно инъективная, такая что для всех  $t \geq 0$ ,  $H_t$  является неограниченной связной компонентой  $H \setminus K_t$ .

Это справедливо почти наверное для алгоритмов  $SLE_k$ , которые были введены Одедом Шраммом [11] и которые представляют собой хордовые алгоритмы Лёвнера, управляемые  $\lambda$ , которая определяется как

$$\lambda(t) = \sqrt{k}B_t$$

где  $B_t$  - стандартное броуновское движение. Это теорема, предложенная Роде и Шраммом [10] для  $k \neq 8$  и Лоулером, Шраммом и Вернером [4] для  $k = 8$ . Роде и Шрамм уточнили эту теорему, доказав, что  $SLE_k$  удовлетворяет следующим случаям:

1. Если  $0 \leq k \leq 4$ , то  $\gamma$  почти наверное инъективно.
2. Если  $4 < k < 8$ , то  $\gamma$  почти наверное непростое, но нигде не имеет плотный путь.
3. Если  $8 \leq k$ , то  $\gamma(t)$  почти наверное является кривой в пространстве.

Маршалл и Роде [7] были первыми авторами, продемонстрировавшими процессы Лёвнера, которые не порождаются кривой, и исследовали достаточные условия на функцию, которая подразумевает, что алгоритм формируется благодаря кривой. Вместе совместно с Дж. Линдт [6] они показали, что если  $1/2$ -Липшицева норма управляющей функции

$$\|\lambda\|_{\frac{1}{2}} = \sup \frac{|\lambda(y) - \lambda(x)|}{|y - x|^{\frac{1}{2}}}, x < y \in R_+$$

меньше 4, то процесс порождается простой кривой, и дали пример процесса Лёвнера, не порожденного кривой, удовлетворяющего

$$\|\lambda\|_{\frac{1}{2}} = 4.$$

### Определение 1.1

Функция  $\lambda : [0, T] \rightarrow R$  будет называться принадлежащей классу  $Lip (\frac{1}{2})$  с нормой, не превышающей  $C$ , если существует такое  $\delta \in (0, 1)$ , что

$$|\lambda(t) - \lambda(t')| < C\sqrt{t' - t}, \forall 0 \leq t \leq t' < T$$

$$|t - t'| < \delta(T - t).$$

Позднее эти три автора обобщили этот результат в [5] следующим образом:

### Теорема(LMR).

Пусть  $\lambda \in Lip (\frac{1}{2})$  с нормой  $C < 4$  на  $[0, T]$ , тогда

1) если

$$\lim_{t \rightarrow T^-} \frac{\lambda(T) - \lambda(t)}{\sqrt{T - t}} = k < 4,$$

то процесс порождается простой кривой  $\gamma : [0, T] \rightarrow \overline{H}$ , где  $\gamma(T) \in H$  (рис. 1.1).

2) если

$$\lim_{t \rightarrow T^-} \frac{\lambda(T) - \lambda(t)}{\sqrt{T - t}} = k > 4,$$

то процесс порождается кривой  $\gamma : [0, T] \rightarrow \overline{H}$ , где  $\gamma(T) \in R$  (рис. 1.2.1) или  $\gamma(T) \in \gamma([0, T])$  (рис. 1.2.2).

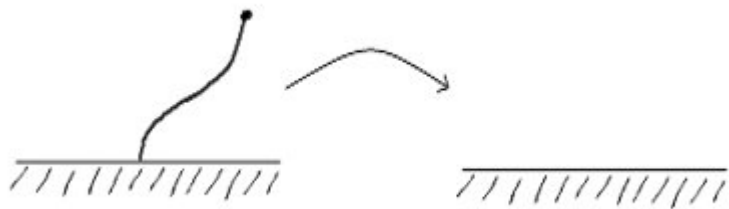


Рис. 1.1 Случай  $\gamma(T) \in H$ .

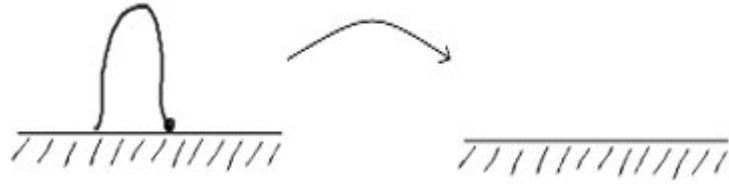


Рис. 1.2.1 Случай  $\gamma(T) \in R$ .

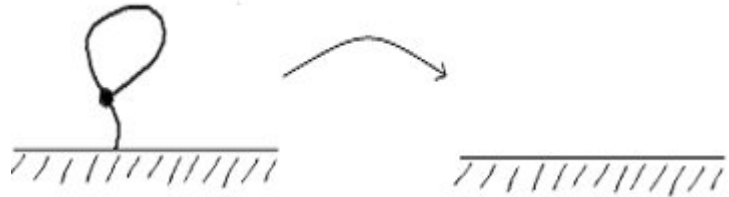


Рис. 1.2.2 Случай  $\gamma(T) \in \gamma([0, T])$ .

Актуальными являются две проблемы:

(P1): учитывая, что процесс Лёвнера порождается простой кривой, какое условие необходимо наложить на управляющую функцию  $\lambda$ , чтобы точно сказать, что эта кривая простая?

(P2): Какие свойства управляющей функции для данного процесса необходимы, чтобы происходила генерация простой кривой?

Ответ на первую проблему дает следующая теорема:

**Теорема 1.1** Пусть  $\lambda : [0, T] \rightarrow R$  - непрерывная функция, такая, что соответствующий процесс Левнера порождается кривой  $\gamma$ . Для  $t > 0$  положим

$$a(t) = \lim_{s \rightarrow t^-} \frac{\lambda(t) - \lambda(s)}{\sqrt{t-s}}, b(t) = \overline{\lim}_{s \rightarrow t^-} \frac{\lambda(t) - \lambda(s)}{\sqrt{t-s}}.$$

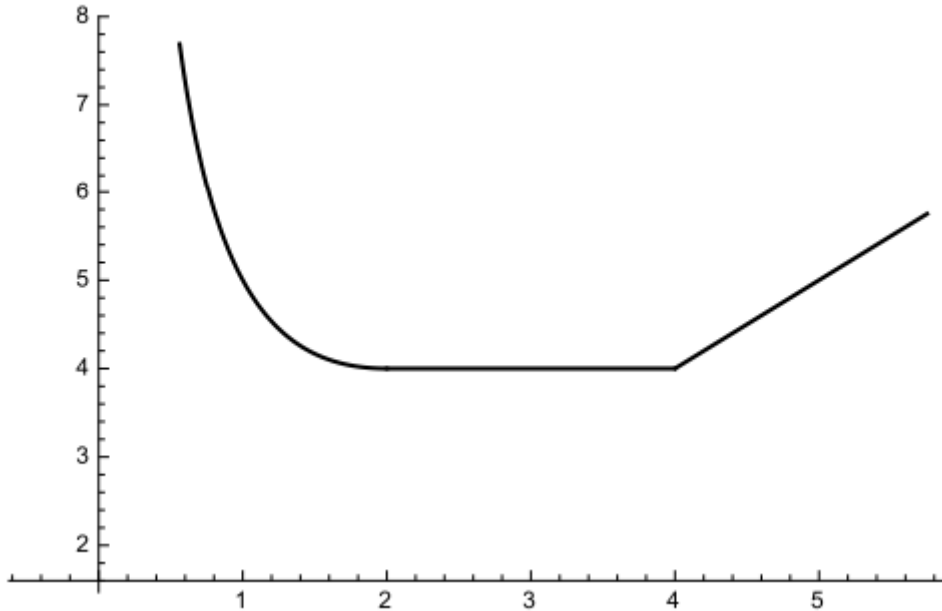


Рис. 1.3 График  $f$

Если  $b(t) < f(a(t)), \forall t \in (0, T]$ , где

$$f(a) \begin{cases} 4, & 2 \leq a < 4 \\ a + 4/a, \quad & 0 < a < 2 + \infty, \quad a = 0 \end{cases}$$

тогда кривая  $\gamma$  простая, а график  $f(a(t))$ , представленный на Рис. 1.3 - оптимальная граница  $b(t)$ .

Эта теорема является обобщением [LMR], где рассматривается только случай  $a(t) = b(t) < 4$

А так же, в первой части рассмотрено вещественное уравнение Левнера и уравнение Левнера с управляемой функцией Вейштрасса.

## 1.2 Кривизна Левнера.

Цель этого раздела - определить величину, которую назовем кривизной Левнера, и установить некоторые из ее свойств, особенно в отношении указанного выше явления. В этом разделе мы определим семейство кривых, которые мы называем самоподобными. Они основаны на принципе Шрамма и будут использоваться в качестве кривых сравнения. Это наши кривые постоянной кривизны. Затем мы идентифицируем эти кривые с помощью дифференциального уравнения Лёвнера и получим, что это двухпараметрическое семейство кривых. Одномерный набор этих кривых изображен на Рис. 1.4.

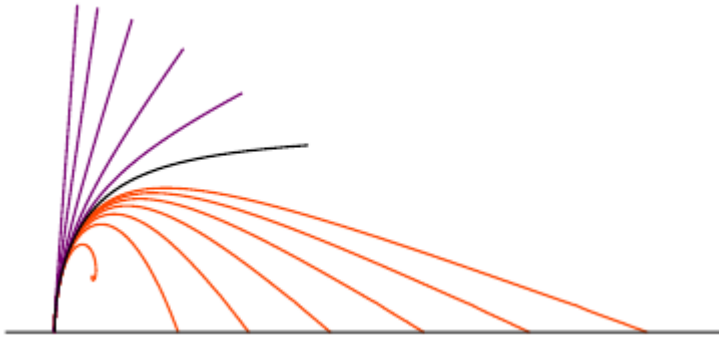


Рис. 1.4 Некоторые кривые постоянной кривизны Лёвнера.

В нашей нормализации фиолетовые кривые имеют отрицательную кривизну, черная кривая имеет бесконечную кривизну, а красные кривые имеют положительную кривизну.

Мы также вычислим первые члены разложения в ряд уравнения кривой  $\gamma$  в терминах первой и второй производных от управляющей функции Лёвнера, и покажем, что

$$\gamma(t) = 2i\sqrt{t} + at - i\frac{a^3}{8}t^{\frac{3}{2}} + bt^2 + o(t^2),$$

для  $t$  близких к 0,  $a = \frac{2}{3}\lambda'(0)$  и  $b = \frac{4}{15}\lambda''(0) + \frac{1}{135}\lambda'(0)^3$ . Это позволит связать с каждой достаточной гладкой кривой наиболее подходящую кривую сравнения и приводит к формуле для кривизны Лёвнера

$$LC_\gamma(t) = \frac{\lambda'(t)^3}{\lambda''(t)}.$$

Отсюда получим, что  $\gamma$  - простая кривая, если  $LC_\gamma(t) < 8$ . Константа 8 является наилучшей из возможных и соответствует константе 4 в критерии  $\|\lambda\|_{\frac{1}{2}} < 4$ , для простых кривых Лёвнера. В конце устанавливается принцип сравнения, который показывает, что оценка кривизны Лёвнера означает, что кривая остается с одной стороны соответствующей кривой постоянной кривизны. В частности, кривизна Лёвнера может быть альтернативно определена путем геометрического сравнения с кривыми постоянной кривизны.

### 1.3 Семейство самоподобных кривых

В этом разделе представим семейство кривых, которые будем называть «самоподобными кривыми». В дальнейшем мы определим кривизну Лёвнера

для этих кривых как постоянную. Кривизна Лёвнера для произвольной кривой будет определяться формулой сравнения с этим семейством. Чтобы дать некоторую мотивацию для такого определения самоподобных кривых, сначала напомним принцип Шрамма, а затем сформулируем детерминистскую версию. Пусть  $\Omega$  будет жордановой областью с двумя различными отмеченными граничными точками  $a$  и  $b$ . Для каждой тройки  $(\Omega, a, b)$ , предположим, что существует семейство  $\Gamma_{\Omega,a,b}$  простых кривых в  $\bar{\Omega}$ , начинающихся в  $a$ , с вероятностной мерой  $\mu_{\Omega,a,b}$ , на  $\Gamma_{\Omega,a,b}$ . (Примечание: это можно обобщить следующим образом: нам не нужны простые кривые, но мы должны потребовать, чтобы кривые не имели самопересечений.)

Говорят, что вероятностная мера  $\mu_{\Omega}$  удовлетворяет принципу Шрамма, если она удовлетворяет следующим условиям:

1) Конформная инвариантность: если задано конформное отображение  $\phi$  области  $\Omega$ , то

$$\phi(\mu_{\Omega,a,b}) = \mu_{\phi(\Omega),\phi(a),\phi(b)}.$$

(Мера  $\phi(\mu_{\Omega,a,b})$  на семействе кривых  $\phi(\Gamma_{\Omega,a,b})$  является продолжением меры  $(\mu_{\Omega,a,b})$ .

2) Марковское свойство области: пусть  $\gamma[0, t]$  - начальная часть кривой в  $\Gamma_{\Omega,a,b}$ . Пусть  $\mu_{\Omega,a,b,\gamma|_{[0,t]}}$  - условная вероятностная мера для данного  $\gamma[0, t]$ . Тогда

$$\mu_{\Omega,a,b,\gamma|_{[0,t]}} = \mu_{\Omega \setminus \gamma[0,t], \gamma(t), b}$$

или, другими словами, для данной начальной части кривой  $\gamma|_{[0,t]}$  условная мера такая же, как и мера на кривых, начинающихся в  $\gamma(t)$  в области  $\Omega \setminus \gamma[0, t]$ .

Для  $\gamma[0, t]$  определим  $G_t$  как множество всех конформных отображений  $\phi_t : \Omega \setminus \gamma[0, t] \rightarrow \Omega$  с  $\phi_t(\gamma(t)) = a$  и  $\phi_t(b) = b$ . Таким образом, если  $\mu_{\Omega,a,b}$ , удовлетворяют конформной инвариантности и марковскому свойству области, то

$$\phi_t(\mu_{\Omega,a,b|\gamma|_{[0,t]}}) = \mu_{\Omega,a,b}$$

или любой  $\phi_t \in G_t$ . Это означает, что мера инвариантна при «отображении вниз» начальной части кривой.

Это приводит нас к детерминированному принципу Шрамма, то есть детерминированной аксиоме, которая будет характеризовать важное семейство кривых. Нас будут интересовать кривые в области, которые начинаются в одной из двух отмеченных граничных точек. Введем обозначения:

### Определение 1.2

Для жордановой области  $\Omega$  с различными граничными точками и заданным  $T \in (0, \infty]$  обозначение  $\gamma : (0, T) \rightarrow (\Omega, a, b)$  означает, что  $\gamma[0, T]$  - простая (детерминированная) кривая с  $\gamma(0, T) \subset \Omega$  и  $\gamma(0) = a$ .

Для простоты обозначений мы часто будем писать просто  $\gamma$  вместо  $\gamma(0, T)$ , для образа открытого временного интервала. Заметим, что  $\gamma(T)$  можно определить, и в этом случае возможно, что  $\gamma(T) \in d\Omega$  или  $\gamma(T) \in \gamma(0, T)$ .

Мы хотим ввести кривые, которые удовлетворяют следующему свойству самоподобия:

### Определение 1.3

Кривая  $\gamma : (0, T) \rightarrow (\Omega, a, b)$  самоподобна, если  $\gamma \in C^3$  и если для каждого  $t \in (0, T)$  существует конформное отображение  $\phi_t \in G_{ts}$ , так что

$$\phi_t(\gamma(t, T)) = \gamma.$$

Через  $S(\Omega, a, b)$  обозначим семейство самоподобных кривых в отмеченной области  $(\Omega, a, b)$ .

Другими словами, самоподобные кривые инвариантны при «отображении вниз» любой начальной части кривой, по модулю конформной перенормировки. Семейство самоподобных кривых мы определим позже.

Если мы знаем  $S(\Omega_0, a_0, b_0)$  для одной фиксированной тройки  $(\Omega_0, a_0, b_0)$ , то мы можем получить  $S(\Omega, a, b)$  через конформное отображение  $\psi : \Omega_0 \rightarrow \Omega$  с  $\psi(a_0) = a$  и  $\psi(b_0) = b$ . То есть

$$S(\Omega, a, b) = \{\psi \circ \gamma : \gamma \in S(\Omega_0, a_0, b_0)\}.$$

Следующая теорема дает описание всех самоподобных кривых.

### Теорема 1.2

Предположим, что  $\gamma : (0, T) \rightarrow (H, 0, \infty)$  имеет управляющую функцию  $\lambda(t)$ . Тогда  $\gamma \in S(H, 0, \infty)$  тогда и только тогда, когда  $\lambda(t)$  является одной из следующих управляющих функций:

$$0, ct, c\sqrt{\tau} - c\sqrt{\tau - t}, c\sqrt{\tau + t} - c\sqrt{\tau} \quad (1.1)$$

где  $c \in R \setminus \{0\}$  и  $\tau > 0$ . Далее  $\lambda$  полностью определяется двумя действительными параметрами  $\lambda'(0)$  и  $\lambda''(0)$ .

Опишем подробно одну из кривых, порождаемых управляющими функциями, перечисленными в (1.1). Все эти кривые являются частными случаями интегрирования уравнения Левнера для частного вида управляющих функций.

Если  $\lambda(t) = ct$ , то  $\gamma$  будет масштабированной версией левой кривой (и отраженной вокруг мнимой оси, если  $c < 0$ ). Эта кривая уходит в бесконечность, но остается в пределах ограниченного расстояния от вещественной оси:

$$\dot{g}_t = \frac{2}{g_t - ct}$$

Пусть  $g_t - ct = h_t$ . Тогда

$$\frac{dh_t}{dt} = \dot{g}_t - c = \frac{2}{h_t} - c = \frac{2 - ch_t}{h_t}.$$

Имеем

$$\frac{h_t}{2 - ch_t} dh_t = dt.$$

Так как

$$\begin{aligned} \int \frac{h_t}{2 - ch_t} dh_t &= \frac{1}{c} \int \left( \frac{2}{2 - ch_t} - 1 \right) dh_t = \\ &= -\frac{2}{c^2} \log(2 - ch_t) - \frac{1}{c} h_t, \end{aligned}$$

тогда интегрирование дает:

$$\begin{aligned} -\frac{g_t - ct}{c} - \frac{2}{c^2} \log(2 - cg_t + c^2 t) + \frac{z}{c} + \frac{2}{c^2} \log(2 - cz) &= t; \\ \frac{cz}{2} + \log(2 - cz) &= \frac{cg_t}{2} + \log(2 - cg_t + c^2 t). \end{aligned}$$

Для точек "халла"  $z \in K_t$  выполняется

$$g_s(z) = \lambda(s) = cs \quad \forall s \in (0; t];$$

$$\frac{cz}{2} + \log(2 - cz) = \frac{c^2 t}{2} + \log 2$$

уравнение задает простую кривую

$$cz + 2 \log(2 - cz) = c^2 t + 2 \log 2.$$

Пусть

$$2 - cz = r \cdot \exp(-i\varphi)$$

$$2 - r \cdot \cos(\varphi) + ir \cdot \sin(\varphi) + 2\log r - 2i\varphi = c^2t + 2\log 2$$

Приравниваем действительную и мнимую части:

$$2\log r - r\cos\varphi = c^2t + 2\log 2$$

$$r = \frac{2\varphi}{\sin\varphi}$$

Подставляем второе уравнение в первое, видим, что  $\varphi$  монотонно возрастает по  $t$  от  $\varphi(0) = 0$  до  $\varphi(\infty) = \pi$ .

В терминах  $\varphi$ , "халл" задается уравнением

$$z = \frac{2}{c} - \frac{2\varphi}{c} \operatorname{ctg} \varphi + i \frac{2}{c} \varphi.$$

На Рис.1.5 представлен график "халла" для  $c = -2, -1, 1, 2$  для  $\varphi \in (0, \pi)$ .

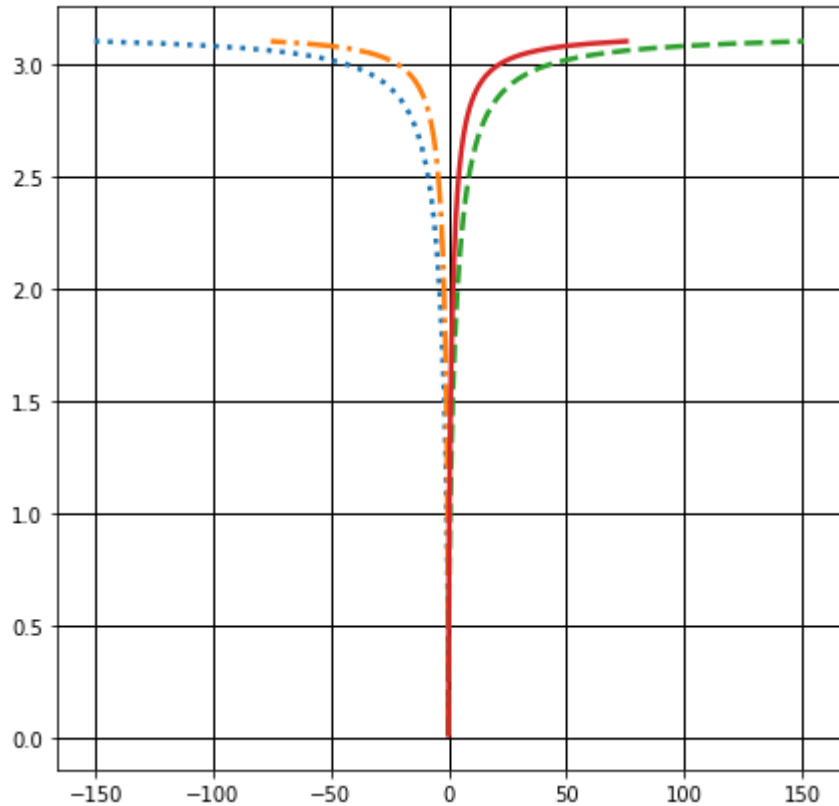


Рис.1.5 График "халла" для  $c = -2, -1, 1, 2$ .

## 1.4 Вычисление кривизны Левнера

Теперь мы готовы дать определение кривизны Лёвнера, обозначенное  $LC_\gamma(t)$ . Начнем с задания постоянной кривизны Левнера для  $\gamma \in S(H, 0, \infty)$  следующим образом:

**Определение 1.3** Пусть  $\gamma \in S(H, 0, \infty)$ . Тогда  $LC_\gamma$ , кривизна Лёвнера кривой  $\gamma$ , определяется как следующая постоянная:

1. Если  $\gamma$  порождается 0, то  $LC_\gamma \equiv 0$ .
2. Если  $\gamma$  порождается с помощью  $ct$ , то  $LC_\gamma \equiv \infty$ .
3. Если  $\gamma$  порождается  $c\sqrt{\tau} - c\sqrt{\tau-t}$ , то  $LC_\gamma \equiv \frac{c^2}{2}$
4. Если  $\gamma$  порождается  $c\sqrt{\tau+t} - c\sqrt{\tau}$ , то  $LC_\gamma \equiv -\frac{c^2}{2}$ .

Отметим, что для  $\gamma \in S(H, 0, \infty)$  кривизна Лёвнера масштабно инвариантна по определению. Для автомодельных кривых  $\gamma \in S(\Omega, a, b)$  определено, что  $LC_\gamma(t)$  удовлетворяет конформному инвариантному. Для кривой  $\gamma : (0, T) \rightarrow (\Omega, a, b)$ , такой, что  $\gamma \in C^3$ , мы определяем  $LC_{\gamma(t)}$  путем сравнения с кривыми постоянной кривизны следующим образом:

### Определение 1.4

Пусть  $\gamma : (0, T) \rightarrow (\Omega, a, b)$  принадлежит  $C^3$ . Кривизна Лёвнера  $\gamma$  в точке  $\gamma(t)$ , обозначенная  $LC_\gamma(t)$ , определяется как  $LC_{\gamma_*}$ , где  $\gamma_* \in S(\Omega \setminus \gamma(0, t], \gamma(t), b)$  - единственная кривая, наилучшим образом подходящая для  $\gamma(t, T)$  при  $\gamma(t)$ .

**Предложение 1.1.** Пусть  $\gamma : (0, T) \rightarrow (H, 0, \infty)$  - кривая класса  $C^3$ , параметризованная емкостью полуплоскости, а  $\lambda$  - соответствующая управляющая функция. Тогда  $\forall t \in (0, T)$ ,

$$LC_\gamma(t) = \frac{\lambda'(t)^3}{\lambda''(t)}. \quad (1.6)$$

Поскольку  $LC_\gamma(t) = 0$  именно тогда, когда  $\lambda'(t) = 0$ , если правая часть (1.6) имеет неопределенную форму  $\frac{0}{0}$ , мы объявляем его равным 0.

Следующая теорема говорит, что если кривизна мала, то  $\gamma$  не может "кривить" так, чтобы самопересечь себя или границу (кроме отмеченной точки  $b$ ).

### Теорема 1.6

Пусть  $\gamma : (0, T) \rightarrow (\Omega, a, b) \in C^3$ . Если  $LC_\gamma(t) < 8$  для всех  $t \in (0, T)$ , то  $\gamma(0, T]$  - простая кривая в  $\Omega \cup \{b\}$ .

Константа 8 является наилучшей из возможных, как показывает кривая в случае 3 из Определения 1.3 с  $c = 4$ .

В главе так же рассмотрено существование кривой с заданной кривизной Левнера и принцип сравнения.

## ЗАКЛЮЧЕНИЕ

В ходе выполнения работы были изучены плоские случаи применения уравнения Левнера, приведены его основные определения, рассмотрены примеры. Детально изучена одна из главных характеристик уравнения Левнера - кривизна Левнера.

Основное внимание было сосредоточено на кривизне Левнера. Была рассмотрена оригинальная теория кривизны уравнения Левнера - одна из теорий, основанная на принципе Шрамма. Было идентифицировано семейство самоподобных кривых, с помощью дифференциального уравнения Левнера и получено, что это двухпараметрическое семейство кривых.

Была рассмотрена главная функция хордового уравнения Левнера  $\lambda : [0, +\infty) \rightarrow R$ .

Рассмотрен вопрос существования кривой с заданной кривизной, и благодаря приведенным теоремам, результат был расширен приведенным принципом сравнения.

Был реализован код на языке Python, реализующий вычисления конкретных кривизн Левнера с определенным набором параметров.

## **СПИСОК ИСПОЛЬЗОВАННЫХ ИСТОЧНИКОВ**

- 1 Gavin, A. G. The Loewner equation and Weierstrass function / A. G. Gavin. -2017.
- 2 Godefroy, H.H. Weierstrass's non-differentiable function / H.H.Godefroy.- Transactions of the American Mathematical Society, 1916. - P. 301–325.
- 3 Lawler, F G. Conformally invariant processes in the plane / F G. Lawler. - American Mathematical Soc., Number 114, 2008.
- 4 Lawler, F.G., Schramm, O., Werner W. Conformal invariance of planar loop-erased random walks and uniform spanning trees /F.G.Lawler , O. Schramm, W. Werner. - Selected Works of Oded Schramm, 2011. -P. 931–987.
- 5 Lind, R J., Marshall, E D., Rohde, S. Collisions and spirals of Loewner traces / R J. Lind, E D. Marshall, S. Rohde. - Duke Mathematical Journal, 2010. -P. 527–573.
- 6 Lind, R J. A sharp condition for the Loewner equation to generate slits / R J. Lind. - Annales Academiae Scientiarum Fennicae, Series A1: Mathematica, volume 30, 2005. -P.143–158.
- 7 Marshall, E D., Rohde S. The Loewner differential equation and slit mappings/E D. Marshall, S. Rohde. - Journal of the American Mathematical Society, 2005. - P. 763–778.
- 8 Pommerenke, Ch. On the Loewner differential equation / Ch. Pommerenke. - The Michigan Mathematical Journal, 1966. - P. 435–443.
- 9 Pommerenke, Ch. Boundary behaviour of conformal maps / Ch. Pommerenke. - Springer Science & Business Media, 2013.
- 10 Rohde, S., Schramm, O. Basic properties of SLE / S. Rohde,O. Schramm. - In Selected Works of Oded Schramm, 2011. -P. 989–1030.

- 11 Schramm, O. Scaling limits of loop-erased random walks and uniform spanning trees /O. Schramm. - Israel Journal of Mathematics, 2000. -P. 221–288.
- 12 Lawler, G. Conformally invariant processes in the plane / G. Lawler. - Mathematical Surveys and Monographs, American Mathematical Society, Providence, RI, 2005.
- 13 Schur, A. Über die Schwarz'sche Extremaleigenschaft des Kreises unter den Kurven konstanter Krümmung / A. Schur. - Math. 1921. - P. 143–148.
- 14 Fernandez, J.L., Granados A. On geodesic curvature and conformal mapping / J.L. Fernandez , A. Granados.- St.Petersburg Math. J. 9, 1998. - P. 615–637.
- 15 Rohde, S., Tran, H., Zinsmeister, H. The Loewner equation and Lipschitz graphs / S.Rohde , H. Tran, H. Zinsmeister. - preprint.
- 16 Kager, W., Nienhuis B., Kadanoff, L. Exact solutions for Loewner Evolutions /W. Kager, B. Nienhuis, L.Kadanoff. - J. Statist. Phys, 2004. - P. 805–822.
- 17 Earle, C., Epstein, A. Quasiconformal variation of slit domains / C. Earle, A. Epstein. - Proc. Amer.Math. Soc, 2001. - P. 3363–3372.
- 18 Marshall, E D. Derivation of Chordal Loewner from Radial Loewner / E D. Marshall, - preprint.
- 19 Zhang, H., Zinsmeister M. Local Analysis of Loewner Equation / H. Zhang, M. Zinsmeister. - School of Mathematical Sciences, Fudan University, 2018. -P. 3 - 29.
- 20 Lind, J. A sharp condition for the Loewner equation to generate slits / J.Lind. - Ann. Acad.Sci. Fenn. Math, 2005. -P. 143–158.
- 21 Прохоров, Д. В., Захаров, А. М. Интегрируемость частного вида уравнения Лёвнера // Д. В.Прохоров, А. М. Захаров. - Известия Саратовского университета, Серия : Математика. Механика. Информатика, Т. 10, вып. 2, УДК: 517.54, 2010. - С. 19-23.